

Slobodanka MARINKOVIĆ \*,  
Aleksandra KOSTIĆ-PULEK \*  
Svetlana POPOV \*

**BADANIA MOŻLIWOŚCI OTRZYMYWANIA  
 $\alpha$ -PÓŁWODZIANU SIARCZANU WAPNIA  
PRZEZ TERMICZNĄ OBRÓBKE SELENITU  
W ROZTWORACH AZOTANÓW  
NIEKTÓRYCH LITOWCÓW I WAPNIOWCÓW**

Zbadano możliwości otrzymywania  $\alpha\text{-CaSO}_4 \cdot 1/2 \text{H}_2\text{O}$  drogą obróbki gipsu krystalicznego  $\text{CaSO}_4 \cdot 2\text{H}_2\text{O}$  (selenitu) we wrzących roztworach  $\text{LiNO}_3$ ,  $\text{NaNO}_3$ ,  $\text{KNO}_3$ ,  $\text{Mg}(\text{NO}_3)_2$ ,  $\text{Ca}(\text{NO}_3)_2$  i  $\text{Sr}(\text{NO}_3)_2$ . Temperatura obróbki przy ciśnieniu atmosferycznym wyniosła  $102+0,5^\circ\text{C}$ . Skład chemiczny otrzymywanych produktów sprawdzono jakościowo analizą spektrofotometryczną w podczerwieni. Morfologię i wielkość otrzymanych kryształów hemihydratu wapnia określano mikroskopowo. Stwierdzono, że w roztworach takich soli jak  $\text{LiNO}_3$ ,  $\text{NaNO}_3$  i  $\text{Mg}(\text{NO}_3)_2$  otrzymuje się monokryształy w formie igiełek. Natomiast w roztworach  $\text{KNO}_3$  i  $\text{Ca}(\text{NO}_3)_2$  powstają igiełkowate mikrokryształki  $\alpha\text{-CaSO}_4 \cdot 1/2 \text{H}_2\text{O}$ . Analiza w podczerwieni wykazała, że obróbka selenitu w roztworze  $\text{Sr}(\text{NO}_3)_2$  nie prowadzi do powstania  $\alpha$ -półwodzianu siarczanu wapnia.

Wstęp

Gotowanie dwuwodnego siarczanu wapnia w roztworach soli przy ciśnieniu atmosferycznym umożliwia otrzymywanie  $\alpha$ -półwodzianu  $\text{CaSO}_4$ , który ma lepsze właściwości mechaniczne niż taki sam związek otrzymany w takich samych warunkach ale w czystej wrzącej wodzie [1,2,3]. Różnice we właściwościach mechanicznych produktów otrzymywanymi tymi dwoma sposobami związane są z różnymi kształtem powstających igiełkowatych kryształów  $\alpha\text{-CaSO}_4 \cdot 1/2 \text{H}_2\text{O}$  (stosunek długości do szerokości). Produkty oznaczające się bardziej wydłużonymi i cieńszymi kryształami mają lepszą charakterystykę mechaniczną i są stosowane w medycynie (chirurgia, stomatologia) jako tzw. gips medyczny.

\* Faculty of Mining and Geology, University of Belgrade, Yugoslavia

W literaturze [1,2,3] jak i w naszych wcześniejszych pracach [4,5,6,7,8] są opisane możliwości i warunki otrzymywania  $\alpha\text{-CaSO}_4 \cdot 1/2\text{H}_2\text{O}$  w chlorkowych roztworach litowców i wapniowców. W niniejszej pracy przedstawiono wyniki badań nad możliwością otrzymywania  $\alpha\text{-CaSO}_4 \cdot 1/2\text{H}_2\text{O}$  z selenitem w roztworach azotanów następujących metali; Li, Na, K, Mg, Sr i Ca. Porównawczo wykonano także eksperymenty w czystej wrzącej wodzie destylowanej.

### Materiały i metodyka

Skład chemiczny nadawy do badań (naturalnego selenitu) oznaczony był jakościowo metodą spektrofotometrii w podczerwieni oraz przy pomocy standardowej analizy chemicznej. Do badań używano materiału o uziarnieniu  $-0.495 \pm 0.417$  mm. Taką klasę ziarnową wydzielono na sitach po zmieszeniu materiału w młynku porcelanowym. Materiał był obrabiany termicznie porcjami w reaktorze, w którym przy pomocy mieszadła magnetycznego utrzymywano stałą prędkość mieszania 250 obr./min. W doświadczeniach używano roztworów (przygotowywanych w temperaturze pokojowej) o następujących stężeniach; 11.8 %  $\text{LiNO}_3$ , 14.12 %  $\text{NaNO}_3$ , 16.36 %  $\text{KNO}_3$ , 22.29 %  $\text{Mg}(\text{NO}_3)_2$ , 24.09 %  $\text{Ca}(\text{NO}_3)_2$  i 29.05 %  $\text{Sr}(\text{NO}_3)_2$ . Wszystkie użyte roztwory przy ciśnieniu atmosferycznym osiągały punkt wrzenia w temperaturze  $102 \pm 0.5^\circ\text{C}$ . Czas obróbki we wszystkich doświadczeniach wynosił 90 minut. Po zakończeniu procesu produkty były poddawane filtracji próżniowej z przemywaniem osadu wrzącą destylowaną wodą aż do zaniku w przesaczku reakcji na obecność jonów  $\text{NO}_3^-$  oraz  $\text{Li}^{1+}$ ,  $\text{Na}^{1+}$ ,  $\text{K}^{1+}$ ,  $\text{Ca}^{2+}$ ,  $\text{Mg}^{2+}$  lub  $\text{Sr}^{2+}$ .

Dla porównania wykonano również podobne doświadczenia dla tej samej nadawy ale w czystej wrzącej wodzie z zachowaniem takich samych warunków ciśnienia, czasu obróbki i prędkości mieszania.

Po filtracji produkty były suszone w  $105^\circ\text{C}$  przez 90 min. a następnie badane jakościowo przy pomocy spektrofotometru IR typ 397 firmy Perkin-Elmer oraz przy pomocy binokularu co pozwoliło określić kształt i inne cechy charakterystyczne kryształów.

### Wyniki i dyskusja

Analiza przy pomocy spektrofotometrii w podczerwieni oraz analiza chemiczna wykazały, że używany materiał - naturalny minerał gipsowy - selenit był siarczanem wapnia wysokiej czystości (0.11 % zanieczyszczeń). W tabeli 1 przedstawiono charakterystykę produktów termicznej obróbki

Table 1.

Characteristics of selenite thermal treatment products

Number of experiment	Liquid medium	Characteristics of products	
		Chemical composition	Characteristics of crystals
1	H <sub>2</sub> O	CaSO <sub>4</sub> · 1/2H <sub>2</sub> O	Aggregates of needle-like micro-crystals with irregular forms and romboidal forms
2	LiNO <sub>3</sub>	CaSO <sub>4</sub> · 1/2H <sub>2</sub> O	Transparent and translucent needle like monocrystals; crushes and damages of crystals did not appear this causes very uniform particle size distribution
3	NaNO <sub>3</sub>	CaSO <sub>4</sub> · 1/2H <sub>2</sub> O	Transparent and translucent needle like monocrystals with non-uniform particle size distribution because of the presence of crushes and damages
4	KNO <sub>3</sub>	CaSO <sub>4</sub> · 1/2H <sub>2</sub> O	Aggregates of needle like micro-crystals with irregular corner like forms
5	Mg(NO <sub>3</sub> ) <sub>2</sub>	CaSO <sub>4</sub> · 1/2H <sub>2</sub> O	Transparent and translucent needle like monocrystals with extremely high length; width ratio without damages and with uniform particle size distribution
6	Ca(NO <sub>3</sub> ) <sub>2</sub>	CaSO <sub>4</sub> · 1/2H <sub>2</sub> O	Aggregates of needle-like micro-crystals with irregular forms and with romboidal and plate forms
7	Sr(NO <sub>3</sub> ) <sub>2</sub>	CaSO <sub>4</sub>	Flake like aggregates of micro-crystals

Identification of products with the IR-analysis is determined by the literature data presented [9].

selenitu obejmującą ich skład chemiczny i właściwości kryształów. Na fotografii fig. 1 pokazano agregaty mikrokryształów  $\alpha$ -CaSO<sub>4</sub> · 1/2H<sub>2</sub>O otrzymane w roztworze Ca(NO<sub>3</sub>)<sub>2</sub> a na fotografii fig. 2 igiełkowate monokryształy  $\alpha$ -CaSO<sub>4</sub> · 1/2H<sub>2</sub>O powstałe w roztworze Mg(NO<sub>3</sub>)<sub>2</sub>. Fotografie te przedstawiają dwa główne typy produktów otrzymanych po obróbce selenitu w badanych roztworach.

Wyniki zestawione w tabeli 1 pokazują, że w roztworach azotanów potasu i wapnia oraz w czystej wodzie otrzymuje się drobne mikrokryształy półwodzianu, natomiast w roztworach azotanów Li, Mg i Na większe monokryształy. Roztwory azotanów Li, Ca, Mg i Na są zatem bardziej przydatne dla otrzymywania  $\alpha$ -CaSO<sub>4</sub> · 1/2H<sub>2</sub>O w zastosowanych warunkach. Szczególnie korzystne warunki osiąga się w roztworach Mg(NO<sub>3</sub>)<sub>2</sub>, produkt ma formę silnie wydłużonych monokryształów.

Przedstawione wyniki wskazują, że proces dehydratacji CaSO<sub>4</sub> · 2H<sub>2</sub>O i krystalizacji  $\alpha$ -CaSO<sub>4</sub> · 1/2H<sub>2</sub>O, przy zachowaniu jednakowych warunków

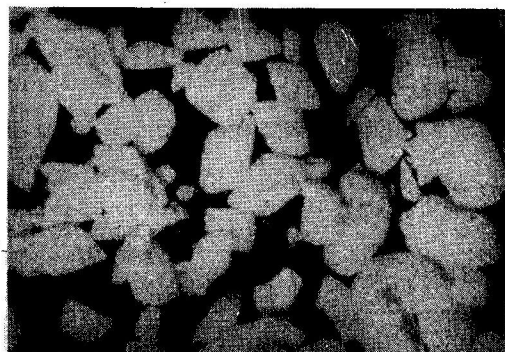


Fig. 1. Forms of microcrystal aggregates of  $\alpha\text{-CaSO}_4 \cdot 1/2\text{H}_2\text{O}$  produced by the thermal treatment in  $\text{Ca}(\text{NO}_3)_2$  solution (Mag.  $\times 60$ )



Fig. 2. Forms of needle like monocystals of  $\alpha\text{-CaSO}_4 \cdot 1/2\text{H}_2\text{O}$  produced by the thermal treatment in  $\text{Mg}(\text{NO}_3)_2$  solution (Mag.  $\times 100$ )

procesu przebiega wolniej w roztworach  $\text{LiNO}_3$ ,  $\text{NaNO}_3$  i  $\text{Mg}(\text{NO}_3)_2$  niż w roztworach  $\text{KNO}_3$ ,  $\text{CaNO}_3$  i w czystej wodzie. Zastosowanie natomiast roztworu  $\text{Sr}(\text{NO}_3)_2$  powoduje powstanie produktu nie zawierającego chemicznie związanej wody a reakcja dehydratacji przebiega bardzo szybko. Zatem zastosowanie roztworu tej soli nie prowadzi do powstania  $\alpha$ -półwodzianu.

Wyjaśnienie tych rezultatów jest trudne gdyż używane w doświadczeniach roztwory były dość stężone a także miały miejsce bardzo złożone oddziaływanie między jonami i skomplikowane oddziaływanie pomiędzy jonomi i cząsteczkami rozpuszczalników (hydratacja jonów). Jednakże autorzy są skłonni przypuszczać, że przyczyna powolnej dehydratacji prawdopodobnie leży w małych rozmiarach kationów w roztworach, w których osiągnięto najkorzystniejsze rezultaty procesu; promień jonowy  $\text{Li}^{1+}$  - 0.068 nm,  $\text{Mg}^{2+}$  - 0.066 nm,  $\text{Na}^{1+}$  - 0.098 nm.

## Literatura

- [1] Ya. I. Vikhter, "Proizvodstvo gipsa", Izd. "Vysshaya shkola", Moskva 1966.
- [2] Yu.M. Butt et al., "Tekhnologiya vyezhushchikh veshestv", Izd. "Vysshaya shkola", Moskva 1966.
- [3] J.A. von Fraunhofer, "Scientific Aspects of Dental Materials", Buttererworth, London and Boston, 1975.
- [4] S. Marinković, A. Pulek, et.al., "The developement of the method for producing  $\alpha$ -hemihydrate from natural mineral ore gypsum", "Proceedings of Hornicka Pribram ve Vede a Technice", Pribram, 1984.
- [5] A. Pulek, S. Marinković et. al., "Production of  $\alpha$ -hemihydrate by the thermal treatment of selenite in the chloride solutions of some alkaline and alkaline earth metals, XXVII Meeting of Serbian Chemists, Belgrade, 1985.
- 6 S. Marinković, A. Pulek et. al., "The influence of the process parameters and particle sizes of raw material on the characteristics of  $\alpha$ -hemihydrate produced from natural mineral ore gypsum", "Proceedings of the World Congress on Non-metallic minerals, Belgrade, 1985.
- 7 A. Pulek, S. Marinković et. al., "The development of the hydrothermal method for  $\alpha$ -hemihydrate production from natural ore gypsum", "Proceedings of XVI October Meeting", Bor 1984.
- 8 S. Marinković, A. Pulek, R. Tomanec, "The laboratory methods for calcium sulphate hemihydrate production from natural's ore gypsum - alabaster", Papers of the Proceedings of the Faculty of Mining and Geology, Belgrade, 1985.
- 9 R.A. Nyquist, R.O. Kagel, "Infrared Spectra of Inorganic Compounds", Academic Press, New York and London, 1971.

## ABSTRACT

Marinkovic S., Kostic-Pulek A., Popov S., 1985. Investigations on the Possibilities of Obtaining  $\alpha$ -Hemihydrate of Calcium Sulphate by the Thermal Treatment of Selenite in the Solutions of Some Alkaline and Alkaline Earth Metal Nitrates. Physicochem. Probl. Miner. Process., 17; 157-162 , (polish text).

Investigations were carried out on the possibility of obtaining  $\alpha$ -hemihydrate of calcium sulphate ( $\alpha\text{-CaSO}_4 \cdot 1/2\text{H}_2\text{O}$ ) by the thermal treatment of selenite in the  $\text{LiNO}_3$ ,  $\text{NaNO}_3$ ,  $\text{KNO}_3$ ,  $\text{Mg}(\text{NO}_3)_2$ ,  $\text{Ca}(\text{NO}_3)_2$  and  $\text{Sr}(\text{NO}_3)_2$  solutions. The temperature of the treatment at the atmospheric

pressure was  $102 \pm 0.5^\circ\text{C}$ . The chemical composition of the products of the selenite thermal treatment was determined by a qualitative IR - analysis. The morphology and the size of the  $\alpha\text{-CaSO}_4 \cdot 1/2\text{H}_2\text{O}$  crystals obtained were determined with the binocular microscope. On the basis of our results it was concluded that in the solutions of salts like  $\text{LiNO}_3$ ,  $\text{NaNO}_3$  and  $\text{Mg}(\text{NO}_3)_2$  needle-like monocrystals were obtained, whereas in the solutions of  $\text{KNO}_3$  and  $\text{Ca}(\text{NO}_3)_2$  needle-like microcrystals of  $\alpha\text{-CaSO}_4 \cdot 1/2\text{H}_2\text{O}$  were formed. The qualitative IR-analysis has shown that the thermal treatment of selenite in the solution of  $\text{Sr}(\text{NO}_3)_2$  does not give rise to the formation of  $\alpha\text{-CaSO}_4 \cdot 1/2\text{H}_2\text{O}$ .

## СОДЕРЖАНИЕ

Маринкович С., Костић-Пулек А., Попов С., 1985. Исследования возможности получения  $\alpha$ -полутетрагидрата методом термической обработки селенита в нитратных растворах некоторых щелочноземельных и щелочных металлов. Физико-химические вопросы обогащения, 17; 157-162.

Исследованы возможности получения  $\alpha\text{-CaSO}_4 \cdot 1/2\text{H}_2\text{O}$  путем обработки кристаллического гипса  $\text{CaSO}_4 \cdot 2\text{H}_2\text{O}$  /селенита/ в кипящих растворах  $\text{LiNO}_3$ ,  $\text{NaNO}_3$ ,  $\text{KNO}_3$ ,  $\text{Mg}(\text{NO}_3)_2$ ,  $\text{Ca}(\text{NO}_3)_2$  и  $\text{Sr}(\text{NO}_3)_2$ . Температура обработки при атмосферном давлении составляла  $102 \pm 0,5^\circ\text{C}$ . Химический состав полученных продуктов качественно проверен инфракрасным спектрофотометрическим анализом. Морфология и величина полученных кристалликов полутетрагидрата известняка определены микроскопически. Определено, что в растворах таких солей как  $\text{LiNO}_3$ ,  $\text{NaNO}_3$ ,  $\text{Mg}(\text{NO}_3)_2$  получены микрокристаллы в виде иголок. А в растворах  $\text{KNO}_3$  и  $\text{Ca}(\text{NO}_3)_2$  образуются игольчатые микрокристаллики  $\alpha\text{-CaSO}_4 \cdot 1/2\text{H}_2\text{O}$ . Анализ инфракрасных спектров показал, что обработка селенита в растворе  $\text{Sr}(\text{NO}_3)_2$  не приводит к образованию сульфата известняка.